

§6. Жесткие задачи и неявные схемы

Продолжим исследование модели взаимодействия световых пучков (см. §2) и начнем с того, что попробуем решить ту же самую задачу с несколько иными параметрами: $a=10$, $r=0.01$. Такое (большее на полтора порядка, нежели в примере §4) соотношение коэффициентов поглощения и рассеяния, на самом деле, более реалистично, т.к. эффект рассеяния назад крайне незначителен.

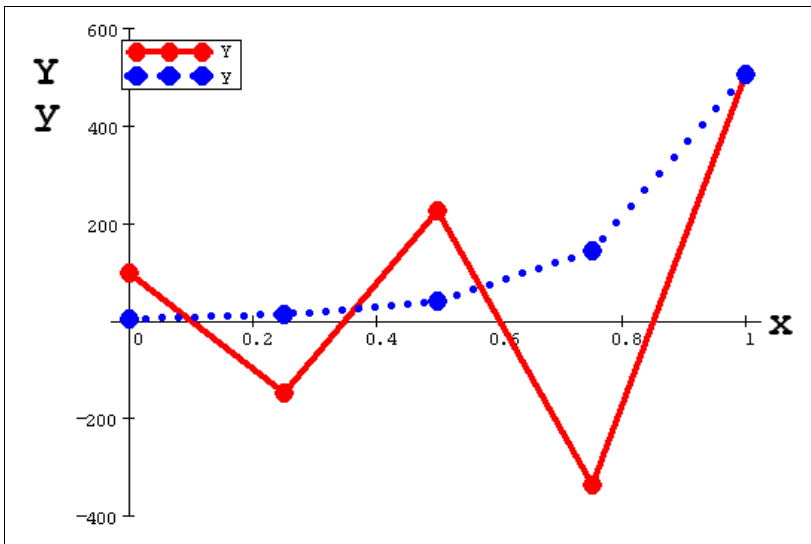


Рис. 29. Неустойчивое решение (явная схема), $N=5$, $a=10$, $r=0.01$

Результат применения явной схемы, представленной в предыдущем разделе, крайне неутешителен (рис. 29). Вместо верного решения схема при $N=5$ дает характерную для неустойчивых разностных схем «разболтку» – колебания нарастающей амплитуды, не имеющие ничего общего с реальностью. Несколько спасает положение применение более частой сетки. При $N=20$ «разболтка» пропадает, и решение вновь становится правильным (рис. 30).

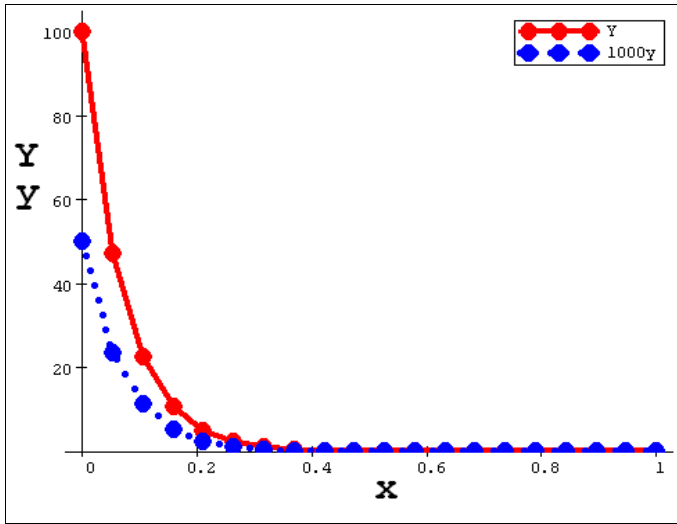


Рис. 30. Верное решение (явная схема), $N=20$

Однако, при увеличении коэффициента поглощения до $a=50$ решение вновь становится неустойчивым (рис. 31).

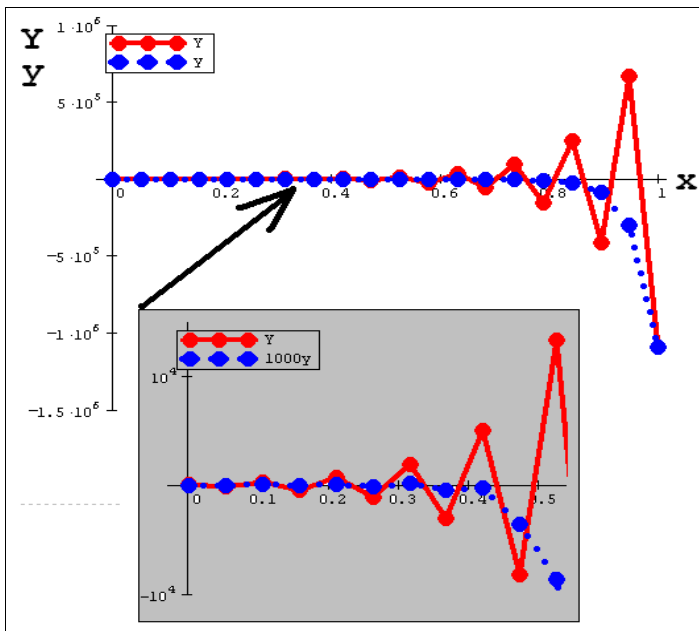


Рис. 31. Неустойчивое решение (явная схема), $N=20$, $a=50$, $r=0.01$

Примечательно, что решения для прямого и встречного пучков отличаются на несколько порядков, т.е. при увеличении коэффициента ослабления $a(x)$ в десятки раз рассматриваемое ОДУ становится *жестким*.

Выходом из положения будет использование *неявных* разностных схем. Применительно к нашей задаче достаточно заменить правые части уравнений (32) значениями не на левой, а на правой границе каждого шага, т.е. вместо шаблона рис. 25 использовать шаблон неявной схемы, изображенный на рис. 32. Тогда в разностных уравнениях правые части будут браться не в i -й, а в $(i+1)$ -й точке:

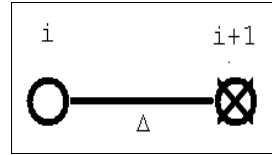


Рис. 32. Шаблон неявной схемы

$$\frac{Y_{i+1} - Y_i}{\Delta} = -a_{i+1} \cdot Y_{i+1} + r_{i+1} \cdot Y_{i+1}, \quad (38)$$

$$\frac{Y_{i+1} - Y_i}{\Delta} = +a_{i+1} \cdot Y_{i+1} - r_i \cdot Y_{i+1}.$$

Граничные условия, мы оставим в том же виде (36). Поскольку мы имеем дело с линейными дифференциальными уравнениями, то и неявную схему легко будет записать в виде матричного равенства, перегруппировывая соответствующим образом выражение (38) и приводя подобные слагаемые:

$$\mathbf{A} \cdot \mathbf{z} = \mathbf{b} \quad (39)$$

Разумеется, полученная матрица \mathbf{A} (рис. 33) будет иной, нежели матрица \mathbf{A} для явной схемы (см. рис. 26). Поэтому и решение (*реализация* неявной схемы) может отличаться от результата расчетов по явной схеме. Отличие заключается лишь в формировании матрицы \mathbf{A} другим способом, согласно неявной схеме.

Один из случаев, когда применение неявных разностных схем исключительно полезно, связан с решением жестких краевых задач. Как уже отмечалось, попытка решить при помощи явной

схемы рассматриваемую задачу с $a(x)=50$ приводит к неверному неустойчивому результату (рис. 31).

$$A = \begin{pmatrix} 1 & 0 & 0 & 0 & 0 & 0 & 0 & 0 & 0 & 0 \\ -1 & 1.25 & 0 & 0 & 0 & 0 & -0.01 & 0 & 0 & 0 \\ 0 & -1 & 1.25 & 0 & 0 & 0 & 0 & -0.01 & 0 & 0 \\ 0 & 0 & -1 & 1.25 & 0 & 0 & 0 & 0 & -0.01 & 0 \\ 0 & 0 & 0 & -1 & 1.25 & 0 & 0 & 0 & 0 & -0.01 \\ 0 & 0 & 0 & 0 & -1 & 0 & 0 & 0 & 0 & 1 \\ 0 & 0.01 & 0 & 0 & 0 & -1 & 0.75 & 0 & 0 & 0 \\ 0 & 0 & 0.01 & 0 & 0 & 0 & -1 & 0.75 & 0 & 0 \\ 0 & 0 & 0 & 0.01 & 0 & 0 & 0 & -1 & 0.75 & 0 \\ 0 & 0 & 0 & 0 & 0.01 & 0 & 0 & 0 & -1 & 0.75 \end{pmatrix}$$

Рис. 33. Структура матрицы A (неявная схема) при $N=5$, $a=1$, $r=0.04$

А вот применение неявной схемы, показанное на рис. 34, демонстрирует, что произошло небольшое чудо: неустойчивость исчезла, а распределение интенсивностей стало физически предсказуемым. Тот же результат сохранится и при дальнейшем увеличении $a(x)$.

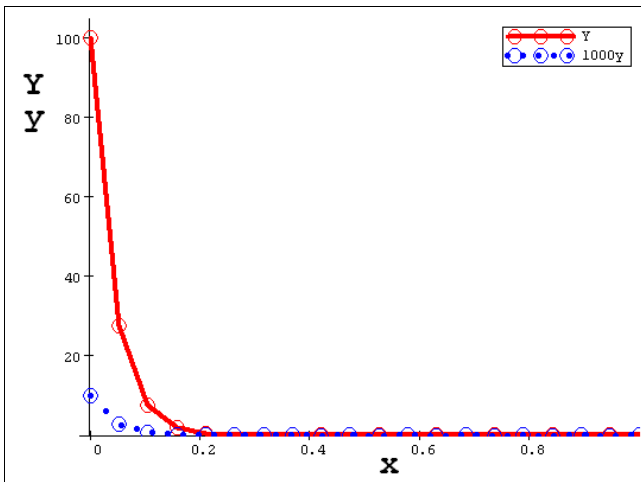
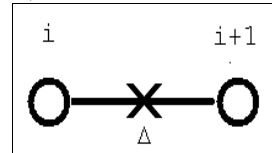


Рис. 34. Решение очень жесткой краевой задачи (неявная схема): $N=20$, $a=50$, $r=0.01$

Обратите внимание, что, из-за взятого нами слишком большого коэффициента ослабления излучения, отраженный пучок света имеет очень маленькую интенсивность, и соответствующую функцию $u(x)$ пришлось построить с увеличением в тысячу раз.

Говоря о разностных схемах для краевых задач, стоит напомнить об их двух важных свойствах: устойчивости и порядке аппроксимации. Они анализируются точно так же, как и для задач Коши для ОДУ (см. гл. 3) и краевых задач для уравнений в частных производных (см. гл.6). Например, можно получить аналитические оценки условия устойчивости, связывающие параметры задачи с шагом сетки, для явной и неявной схемы Эйлера, что объяснит неустойчивое поведение явной схемы (рис. 29 и 31) при умеренно больших значениях шага.

Несложно показать, что обе схемы (35) и (38) имеют первый порядок аппроксимации, а чтобы получить схему более высокого (второго) порядка, следует использовать симметричную схему, шаблон которой изображен на рис. 35.



*Рис. 35. Шаблон
схемы 2-го порядка*